

05.4; 11

(C) 1992

ЗАВИСИМОСТЬ СТРУКТУРЫ И ПАРАМЕТРОВ $YBCO$
ПЛЕНОК НА КРЕМНИЕВОЙ ПОДЛОЖКЕ
ОТ СТРУКТУРЫ ПРОМЕЖУТОЧНОГО YSZ СЛОЯ

Ю.А. Бойков, З.Г. Иванов*, Т.Б. Жукова,
Дж. Борсон*, Е. Олсон*, Т. Клаесон*

Исследование особенностей формирования тонких слоев $YBa_2Cu_3O_{7-\delta}$ на кремниевых подложках, представляет значительный интерес с точки зрения возможного применения ВТСП пленок в микроэлектронике. Кремний и $YBCO$, как известно [1], активно взаимодействуют при температурах, используемых при выращивании эпитаксиальных пленок оксидных сверхпроводников. Для уменьшения химического взаимодействия между $YBCO$ пленкой и кремниевой подложкой используют различные промежуточные слои CeO_2 [2], $BaTiO_3/MgAl_2O_4$ [3], Y_2O_3/YSZ [4] и т. д.

Чтобы промежуточный слой мог выполнять роль буфера, ослабляющего взаимодействие между пленкой и подложкой, он должен быть химически инертным по отношению к контактирующим с ним материалам и должен существенно ослаблять диффузионный перенос между ними. Наилучшие результаты достигаются в том случае, когда промежуточный слой эпитаксиально сопряжен как с подложкой, так и с пленкой, поскольку дефекты структуры в буферном слое способствуют значительной интенсификации диффузионных процессов. Использование промежуточных слоев позволяет не только создать условия для формирования эпитаксиальных пленок $YBCO$ на поверхности кремния, но может также способствовать снижению уровня упругих напряжений в ВТСП пленке, возникающих вследствие различия температурных коэффициентов линейного расширения $YBCO$ и Si .

Наиболее широко и успешно в качестве промежуточных слоев при выращивании ВТСП пленок на кремний используются тонкие пленки YSZ $[(1-x)ZrO_2 + xY_2O_3]$. YSZ , как известно [5], инертен по отношению к Si ($T < 800^\circ C$) и может быть эпитаксиально выращен на его поверхности. Существенное влияние на процесс эпитаксиального роста YSZ на кремниевой подложке может оказывать наличие слоя собственного окисла. Аморфный слой SiO_2 на поверхности кремния не препятствует формированию поликристаллических пленок YSZ с четко выраженной текстурой [6], однако ослабляет (исключает) взаимодействие конденсируемых час-

* Chalmers University of Technology, S-41296, Göteborg, Sweden.

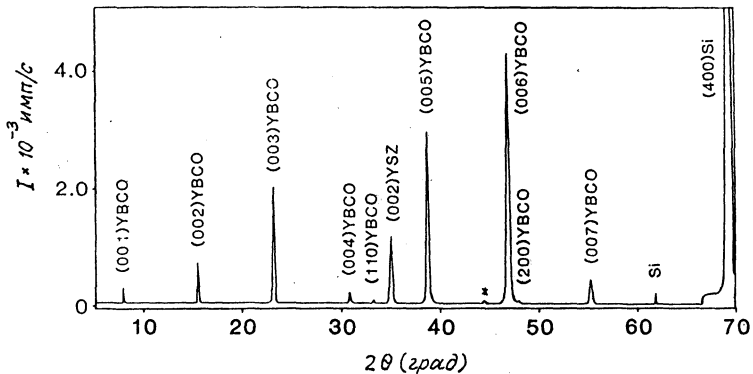


Рис. 1. Дифрактограмма (Θ - 2Θ) для пленочной системы $YBCO/YSZ/(100)Si$. Промежуточный слой YSZ сформирован при $T_p = 760^\circ\text{C}$.

тиц с периодическим полем монокристаллической кремниевой подложки, что обуславливает азимутальную разориентацию кристаллитов.

Пленки YSZ и $YBCO$ приготавливались методом лазерного распыления „in situ“ [7]. В качестве исходных мишеньей использовались образцы $YBCO$ стехиометрического состава и таблетки YSZ ($x=0.09$), приготовленные по стандартной керамической технологии. Слои YSZ толщиной 50 нм были сформированы на поверхности кремниевых пластин при различных температурах ($T_p = 740-800^\circ\text{C}$). Пленки $YBCO$ имели толщину 200 нм и формировались при температуре 740 °C.

Подложки $(100)Si$ обрабатывались в трихлорэтилене с использованием ультразвуковой ванны, затем промывались в ацетоне и спирте. Нагрев подложек до заданной температуры конденсации промежуточного слоя осуществлялся в вакууме $5 \cdot 10^{-6}$ Тор, после начала распыления исходных мишеней YSZ давление кислорода в рабочей камере повышалось до $1 \cdot 10^{-4}$ Тор. Температура металлического блока, на котором с помощью серебряной пасты крепились подложки, контролировалась с использованием хромель-алюмелевой термопары.

Для пленок YSZ , сформированных в указанном интервале температур, характерно наличие четко выраженной преимущественной ориентации кристаллитов, при которой $(100)YSZ // (100)Si$. На рис. 1 приведена дифрактограмма ($\theta \sim 2\Theta$) для системы $YBCO/YSZ/(100)Si$, слой YSZ сконденсирован на $(100)Si$ при $T_p = 760^\circ\text{C}$. Для получения информации об разориентации кристаллитов в плоскости подложки были получены рентгенограммы под настильным углом (см. рис. 2). Из данных, представленных на рис. 1 и 2, следует, что пленки YSZ , сформированные при указанных выше температурах конденсации, состоят из участков с азимутально разориентированной, поликристаллической фазой и областей, эпитаксиально выросших на подложке. Прогрев кремниевых подложек в ва-

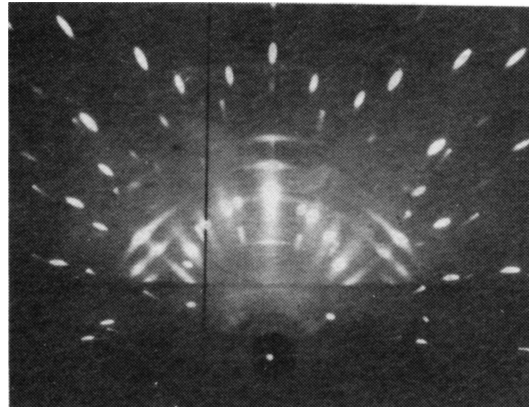


Рис. 2. Рентгенограмма, полученная под настильным углом для пленочной системы $YBCO/YSZ/(100)Si$. Слой YSZ сформирован при $T_{\text{п}}=760\text{ С}$.

кууме при $T > 750\text{ С}$ приводит [8] к освобождению отдельных участков их поверхности от слоя собственного окисла. Зародыши кристаллической фазы YSZ , сформированные на таких участках, четко ориентированы относительно выделенного направления в плоскости подложки и задают азимутальную ориентацию прилегающих к ним областей пленки. С повышением $T_{\text{п}}$ доля азимутально разориентированной фазы в пленках YSZ уменьшалась.

Структура пленок $YBCO$ существенным образом зависела от структуры промежуточного слоя. Для пленочных систем $YBCO/YSZ/(100)Si$, промежуточный слой YSZ в которых сформирован при $T_{\text{п}} \geq 760\text{ С}$, характерно наличие четко выраженной текстуры $(001)YBCO // (h\bar{0}0)YSZ // (100)Si$ (см. рис. 1). Наличие на дифрактограмме рефлекса при $2\theta \sim 32.8^\circ$ указывает на присутствие в пленке $YBCO$ произвольно ориентированных кристаллитов, а появление рефлекса при $2\theta \sim 44.2^\circ$ связано, по-видимому, с формированием между пленкой $YBCO$ и слоем YSZ прослойки BZO ($BaZrO_3$) [9, 10]. Оценка параметра решетки для материала указанной прослойки приводит при расчете для отражения от плоскостей (200) кубического кристалла к величине $a = 4.086\text{ \AA}$, что хорошо коррелирует с данными для сильно додированных промежуточных слоев, формирующихся на границе между $YBCO$ пленкой и монокристаллом YSZ [10]. В пленке $YBCO$ из исследованной пленочной системы $YBCO/YSZ/Si$ имелось значительное количество включений второй фазы (см. рис. 3, а) с размерами 1–3 мкм. Включения второй фазы и прилегающие к ним участки, состоящие из нитевидных и плоских дезориентированных зерен $YBCO$, расположаются по периметру блочно монокристаллических областей. Кристаллические блоки в указанных областях имеют размеры $\sim 300\text{ нм}$ и четко ориентированы азимутально, т. е. они сформи-

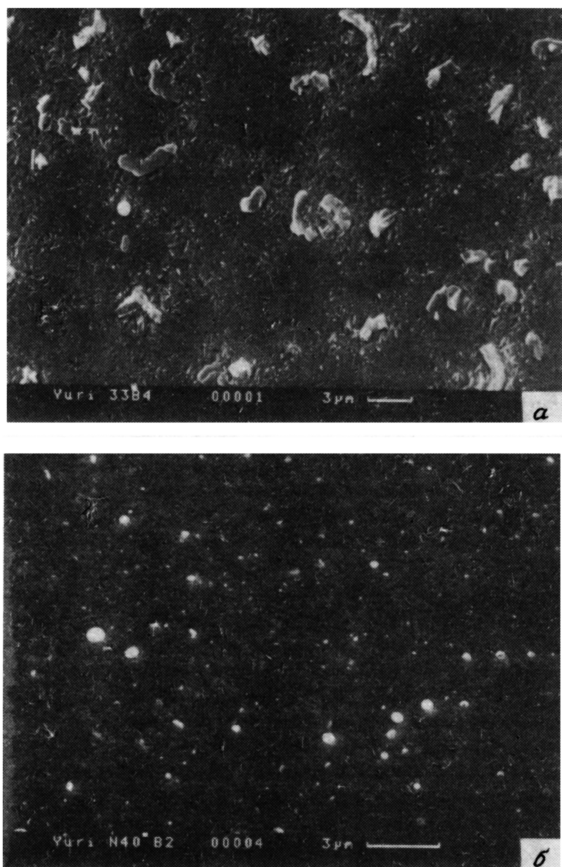


Рис. 3. Электронно-микроскопические снимки поверхности пленочных систем $YBCO/YSZ/(100)Si$, промежуточный слой в которых сформирован при $T_d=760$ С (а) и $T_d=800$ С (б).

рованы эпитаксиально на соответствующих участках промежуточного слоя YSZ . Причиной формирования включений второй фазы и появления дезориентированных кристаллитов около них в пленках $YBCO$ является, по-видимому, наличие в промежуточном слое YSZ участков с поликристаллической азимутально разориентированной фазой. На таких участках происходит эффективная диффузия ионов бария из $YBCO$ пленки в промежуточный слой и кремния из подложки в $YBCO$ пленку. По мере совершенствования структуры промежуточного слоя YSZ происходит уменьшение концентрации и средних размеров включений второй фазы в пленках $YBCO$. На рис. 3, б приведен электронно-микроскопический снимок поверх-

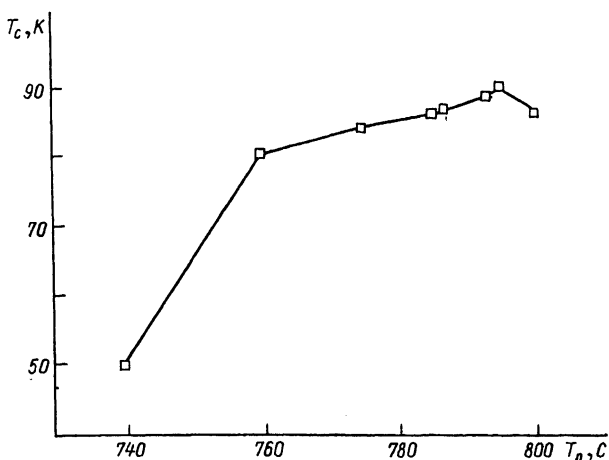


Рис. 4. Зависимость температуры сверхпроводящего перехода $T_c(r=0)$ для пленок $YBCO$ из системы $YBCO/YSZ/(100)Si$ от температуры конденсации промежуточного слоя YSZ .

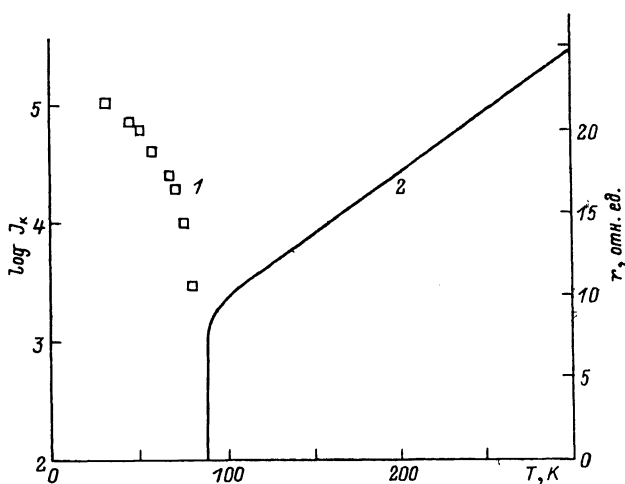


Рис. 5. Изменение с температурой плотности критического тока J_c (1) и сопротивления r (2) для пленки $YBCO$ из системы $YBCO/YSZ/(100)Si$, промежуточный слой в которой сформирован при $T_{\text{п}}=790^\circ\text{C}$.

ности системы $YBCO/YSZ/Si$, промежуточный слой в которой был сформирован при $T_{II}=800\text{ С}$.

На рис. 4 приведена зависимость температуры сверхпроводящего перехода $T_c(r=0)$ для пленок $YBCO$ от температуры конденсации промежуточного слоя. Наиболее высокие значения T_c наблюдались при $T_{II} \sim 790\text{ С}$. На рис. 5 показано изменение с температурой сопротивления и плотности критического тока для пленки $YBCO$, промежуточный слой YSZ для которой был сформирован при $T_{II}=790\text{ С}$. Измерение плотности критического тока в пленках $YBCO$ проводилось на мостиках шириной 3 мкм, длиной 20 мкм, сформированных с использованием ионного травления. Снижение плотности критического тока в исследованных пленках $YBCO$ по сравнению с пленками, эпитаксиально выращенными на поверхности $YSZ(100)Si$ [11], обусловлены как несовершенством структуры промежуточного слоя YSZ , так и действующими в ВТСП пленке упругими напряжениями. Одной из причин упругого напряженного состояния исследованных пленок $YBCO$ является значительное различие температурных коэффициентов линейного расширения $YBCO$ и Si . Как следует из данных, представленных на рис. 2, для областей $YBCO$ пленки, эпитаксиально выращенных на поверхности промежуточного слоя, характерен значительный астеризм. Высокий уровень напряжений обуславливает формирование в пленке системы микротрещин, отдельные из них видны на рис. 3, а.

Проведенное исследование структуры и свойств пленочных систем $YBCO/YSZ/Si$ показало, что параметры $YBCO$ пленок резко зависят от структуры промежуточного слоя. Наличие слоя собственного окисла на поверхности кремниевой подложки нарушает эпитаксиальный рост пленок YSZ . На фрагментах поверхности Si , освобожденных от SiO_2 , при $T \sim 800\text{ С}$ формируются четко азимутально ориентированные кристаллические зародыши YSZ , которые задают ориентацию прилегающих к ним областей промежуточного слоя. Промежуточные слои YSZ с незначительной долей разориентированной поликристаллической фазы позволяют значительно снизить химическое взаимодействие между $YBCO$ пленкой и кремниевой подложкой.

Список литературы

- [1] Cheung C.T., Ruckenstein E. // J. Mater. Res. 1989. V. 4. N 1. P. 1-15.
- [2] Luo Li, Wu D., Dye R.C., Muenchhausen R.E., Foitlyn S.R., Coulter Y., Maggiore C.J., Inoue T. // Appl. Phys. Lett. 1991. V. 59. N 16. P. 2043-2045.
- [3] Fork D.K., Ponce F.A., Tramontana J.C., Geballe T.H. // Appl. Phys. Lett. 1991. V. 58. N 7. P. 2294-2297.

- [4] Mayren H., Nishimama Y., Miyamoto N., Kay Y., Yamanaoka Y., Osaka Y., Nishiyma F. // Jap. J. Appl. Phys. 1990. V. 29. P. L955-L958.
- [5] Fenner D.B., Vianeo A.M., Fork D.K., Connell G.A.N., Boyce J.B., Ponce F.A., Tramontana J.C. // J. Appl. Phys. 1991. V. 69. N. 4. P. 2176-2182.
- [6] Stampfer A.K., Greve D.W., Schleisinger T.E. // J. Appl. Phys. 1991. V. 70. N. 4. P. 2046-2051.
- [7] Brorsson G., Ivanov Z., Nilsson P-A. // Science and Technology of Thin Film Superconductors 2 / Ed. by R.D. McConnell and R. Noufi (Plenum, New York, 1990). P. 169.
- [8] Benyachich F., Priolo F., Rimini E., Spinella C., Ward P. // J. Appl. Phys. 1992. V. 71. N. 2. P. 638-646.
- [9] Boikov Yu.A., Ivanov Z.G., Olszon E., Alarcos J.A., Brorsson G., Claeson T. // J. Appl. Phys. 1992. To be published.
- [10] Wang D.M., Ying Q.Y., Kwock H.S. // Appl. Phys. Lett. 1991. V. 58. N. 21. P. 2429-2431
- [11] Fork D.K., Ponce F.A., Tramontana J.C., Newmann N., Philipps J.M., Geballe T.H. // Appl. Phys. Lett. 1991. V. 58. N. 21. P. 2432-2434.

Физико-технический институт
им. А.Ф. Иоффе РАН,
С.-Петербург

Поступило в Редакцию
14 сентября 1992 г.